

# Numerieke simulatie van differentiaalvergelijkingen

Giovanni Samaey

---

## Les 3

Runge-Kutta methodes (H3)

Foutenschatting – ingebedde RK methodes (H6.3)

# Recap: De voorwaartse Eulermethode

---

- Beginwaardeprobleem:

$$\mathbf{y}' = \mathbf{f}(t, \mathbf{y}), \quad t \geq t_0, \quad \mathbf{y}(t_0) = \mathbf{y}_0$$

- We zoeken een benaderende oplossing op tijdstip  $t > t_0$

$$\mathbf{y}_n \approx \mathbf{y}(t_n), \quad t_n = t_0 + n h$$

- Voorwaartse Euler berekent die benadering als

$$\mathbf{y}_{n+1} = \mathbf{y}_n + h \mathbf{f}(t_n, \mathbf{y}_n), \quad n = 0, 1, \dots$$

- Vaststelling:

- $\mathbf{y}_{n-1}$  wordt weggegooid !
- Methode is van orde 1:  $\mathbf{y}_n = \mathbf{y}(t_n) + \mathcal{O}(h)$

# Recap: Lineaire multistapmethodes

---

- Beginwaardeprobleem:

$$\mathbf{y}' = \mathbf{f}(t, \mathbf{y}), \quad t \geq t_0, \quad \mathbf{y}(t_0) = \mathbf{y}_0$$

- We zoeken een benaderende oplossing op tijdstip  $t > t_0$

$$\mathbf{y}_n \approx \mathbf{y}(t_n), \quad t_n = t_0 + n h$$

- Lineaire multistapmethode berekent benadering als

$$\sum_{m=0}^s a_m \mathbf{y}_{n+m} = h \sum_{m=0}^s b_m \mathbf{f}(t_{n+m}, \mathbf{y}_{n+m})$$

- Bedoeling: hogere orde door hergebruik van punten
- Probleem: niet altijd convergent door multistapkarakter

# Alternatief idee: Runge-Kutta methodes

---

- Beginwaardeprobleem:

$$\mathbf{y}' = \mathbf{f}(t, \mathbf{y}), \quad t \geq t_0, \quad \mathbf{y}(t_0) = \mathbf{y}_0$$

- Exacte oplossing:

$$\begin{aligned} \mathbf{y}(t_{n+s}) &= \mathbf{y}(t_{n+s-1}) + \int_{t_{n+s-1}}^{t_{n+s}} \mathbf{y}'(\tau) d\tau \\ &= \mathbf{y}(t_{n+s-1}) + \int_{t_{n+s-1}}^{t_{n+s}} \mathbf{f}(\tau, \mathbf{y}(\tau)) d\tau \end{aligned}$$

- Bedoeling: hogere orde door goede kwadratuurregels

$$\int_a^b f(\tau) \omega(\tau) d\tau = \sum_{j=1}^{\nu} b_j f(c_j)$$

$c_j$  knopen  
 $b_j$  gewichten

# Intermezzo: kwadratuurregels

---

- Kwadratuurregel is van orde  $p$  als ze exact is voor veeltermen van graad  $p - 1$
- Benaderingsfout

$$\left| \int_a^b f(\tau) \omega(\tau) d\tau - \sum_{j=1}^{\nu} b_j f(c_j) \right| \leq c \max_{a \leq t \leq b} |f^{(p)}(t)|$$

- Stelling 1: Voor elke set niet-samenvallende knopen  $\{c_j\}_{j=1}^{\nu}$  zijn er gewichten  $\{b_j\}_{j=1}^{\nu}$  te vinden zodat  $p = \nu$ .
- Stelling 2: Met een optimale keuze van de knopen  $\{c_j\}_{j=1}^{\nu}$  en gewichten  $\{b_j\}_{j=1}^{\nu}$  kan een orde  $p = 2\nu$  bekomen worden.

# Keuzes van kwadratuurregels

---

- Newton-Cotesregels: Equidistante knopen
- Orthogonale veeltermen (zie ‘Numerieke modellering en benadering’)
  - Definitie van scalair product  $\langle f, g \rangle_\omega := \int_a^b f(\tau)g(\tau)\omega(\tau)d\tau$
  - Orthogonale veeltermen
$$\langle p_m, \hat{p} \rangle = 0, \quad \text{for every } \hat{p} \in \mathbb{P}_{m-1}$$
  - Als  $\omega(\tau) = 1$ , dan heten die veeltermen Legendreveeltermen
- Gauss-kwadratuur (heeft op “magische” wijze orde  $p = 2\nu$ )
  - Kies als knopen  $\{c_j\}_{j=1}^\nu$  de nulpunten van  $p_\nu$  (dit kan altijd !)
  - Kies gewichten  $\{b_j\}_{j=1}^\nu$  om orde  $p = \nu$  te bekomen

# Een veralgemeend resultaat

---

- Beschouw een veelterm  $r$  van graad  $\nu$  zodat

$$\langle r, \hat{p} \rangle = 0, \quad \text{for every } \hat{p} \in \mathbb{P}_{m-1}$$

- Beschouw volgende kwadratuurregel
  - Kies als knopen  $\{c_j\}_{j=1}^{\nu}$  de nulpunten van  $r$  (dit kan altijd !)
  - Kies gewichten  $\{b_j\}_{j=1}^{\nu}$  om orde  $p = \nu$  te bekomen
- De resulterende kwadratuurregel zal orde  $p = \nu + m$  hebben.

# Alternatief idee: Runge-Kutta methodes

---

- Beginwaardeprobleem:

$$\mathbf{y}' = \mathbf{f}(t, \mathbf{y}), \quad t \geq t_0, \quad \mathbf{y}(t_0) = \mathbf{y}_0$$

- Exacte oplossing:

$$\begin{aligned} \mathbf{y}(t_{n+s}) &= \mathbf{y}(t_{n+s-1}) + \int_{t_{n+s-1}}^{t_{n+s}} \mathbf{y}'(\tau) d\tau \\ &= \mathbf{y}(t_{n+s-1}) + \int_{t_{n+s-1}}^{t_{n+s}} \mathbf{f}(\tau, \mathbf{y}(\tau)) d\tau \end{aligned}$$

- Bedoeling: hogere orde door goede kwadratuurregels

$$\int_a^b f(\tau) \omega(\tau) d\tau = \sum_{j=1}^{\nu} b_j f(c_j)$$

$c_j$  knopen  
 $b_j$  gewichten



# Expliciete Runge-Kutta methodes (1)

---

- Benader exacte oplossing via kwadratuurregel

$$\begin{aligned}\mathbf{y}(t_{n+1}) &= \mathbf{y}(t_n) + \int_{t_n}^{t_{n+1}} \mathbf{f}(\tau, \mathbf{y}(\tau)) d\tau \\ &= \mathbf{y}(t_n) + h \int_0^1 \mathbf{f}(t_n + h\tau, \mathbf{y}(t_n + \tau)) d\tau \\ &\approx \mathbf{y}(t_n) + h \sum_{j=1}^{\nu} b_j \mathbf{f}(t_n + c_j h, \mathbf{y}(t_n + c_j h))\end{aligned}$$

- Probleem: we kennen de oplossing niet in de knopen !  
We hebben een benadering nodig voor

$$\mathbf{y}(t_n + c_j h)$$

# Expliciete Runge-Kutta methodes (2)

---

- Vertretpunt:

$$\mathbf{y}(t_{n+1}) \approx \mathbf{y}(t_n) + h \sum_{j=1}^{\nu} b_j \mathbf{f}(t_n + c_j h, \mathbf{y}(t_n + c_j h))$$

- Benader  $\xi_j \approx \mathbf{y}(t_n + c_j h)$  op basis van vorige knopen

$$\xi_1 = \mathbf{y}_n,$$

$$\xi_2 = \mathbf{y}_n + h a_{2,1} \mathbf{f}(t_n, \xi_1),$$

$$\xi_3 = \mathbf{y}_n + h a_{3,1} \mathbf{f}(t_n, \xi_1) + h a_{3,2} \mathbf{f}(t_n + c_2 h, \xi_2)$$

$$\vdots$$

$$\xi_{\nu} = \mathbf{y}_n + h \sum_{i=1}^{\nu-1} a_{\nu,i} \mathbf{f}(t_n + c_i h, \xi_i)$$

# Definitie van de Runge-Kutta methode

---

$$\boldsymbol{\xi}_j = \mathbf{y}_n + h \sum_{i=1}^{j-1} a_{j,i} \mathbf{f}(t_n + c_i h, \boldsymbol{\xi}_i), \quad j = 1, \dots, \nu$$

$$\mathbf{y}_{n+1} = \mathbf{y}_n + h \sum_{j=1}^{\nu} b_j \mathbf{f}(t_n + c_j h, \boldsymbol{\xi}_j)$$

Terminologie: RK matrix, RK knopen, RK gewichten, RK tableaux

Voorbeelden: (uitgewerkt op bord – met kleur)

$$\begin{array}{c|c} \mathbf{c} & \mathbf{A} \\ \hline & \mathbf{b}^\top \end{array}$$

$$\begin{array}{c|c} 0 & \\ \frac{1}{2} & \frac{1}{2} \\ \hline & 0 \quad 1 \end{array},$$

$$\begin{array}{c|c} 0 & \\ \frac{2}{3} & \frac{2}{3} \\ \hline & \frac{1}{4} \quad \frac{3}{4} \end{array}$$

and

$$\begin{array}{c|c} 0 & \\ 1 & 1 \\ \hline & \frac{1}{2} \quad \frac{1}{2} \end{array}$$

# Ordevoorwaarden voor Runge-Kutta

---

- Plaats op bord de condities die je direct kunt inzien
- Directe Taylorexpansie (kennisclip voor geval  $\nu = 2$ )
  - Intuïtieve condities komen effectief terug
  - Ontzettend veel rekenwerk voor hogere orde
- Taylorexpansie voor autonome vgl. (mag voor  $\nu \leq 3$ )
  - Iets minder rekenwerk, maar toch nog vervelend om te doen
- Belangrijk: maximaal te bereiken orde met expliciete RK
  - Voor  $\nu \leq 4$  is de maximale orde  $p = \nu$
  - Voor  $p = 5$  moet  $\nu \geq 6$  ; wordt erger voor hogere ordes

# Impliciete Runge-Kuttamethodes

---

$$\xi_j = y_n + h \sum_{i=1}^{\nu} a_{j,i} f(t_n + c_i h, \xi_i), \quad j = 1, \dots, \nu$$
$$y_{n+1} = y_n + h \sum_{j=1}^{\nu} b_j f(t_n + c_j h, \xi_j)$$

- We blijven nodig hebben voor consistentie dat

$$\sum_{i=1}^{\nu} a_{j,i} = c_j, \quad j = 1, \dots, \nu$$

- Relatief grote stelsels / Maximale orde wordt  $p = 2\nu$
- Vergelijk rekenwerk per stap! Expliciet/impliciet – RK/LMS

# Impliciete RK methodes: voorbeeld

---

$$\boldsymbol{\xi}_1 = \mathbf{y}_n + \frac{1}{4}h \left[ \mathbf{f}(t_n, \boldsymbol{\xi}_1) - \mathbf{f}(t_n + \frac{2}{3}h, \boldsymbol{\xi}_2) \right]$$

$$\boldsymbol{\xi}_2 = \mathbf{y}_n + \frac{1}{12}h \left[ 3\mathbf{f}(t_n, \boldsymbol{\xi}_1) + 5\mathbf{f}(t_n + \frac{2}{3}h, \boldsymbol{\xi}_2) \right]$$

$$\mathbf{y}_{n+1} = \mathbf{y}_n + \frac{1}{4}h \left[ \mathbf{f}(t_n, \boldsymbol{\xi}_1) + 3\mathbf{f}(t_n + \frac{2}{3}h, \boldsymbol{\xi}_2) \right]$$

Tableau

0	$\frac{1}{4}$	$-\frac{1}{4}$
$\frac{2}{3}$	$\frac{1}{4}$	$\frac{5}{12}$
	$\frac{1}{4}$	$\frac{3}{4}$

Deze methode heeft orde 3  
(zie afleiding in kennisclip)

# Omweg: het principe van collocatie

---

- Zoek een benaderende veelterm  $u$  van graad  $\nu$
- Eis dat deze veelterm voldoet aan de beginvoorwaarde...

$$u(t_n) = y_n$$

- ... en exact aan de differentiaalvergelijking in  $\nu$   
collocatiepunten

$$u'(t_n + c_j h) = f(t_n + c_j h, u(t_n + c_j h)), \quad j = 1, \dots, \nu$$

- Zet vervolgens

$$y_{n+1} = u(t_{n+1})$$

# Collocatie als impliciete RK methode

---

**Lemma 3.5**    *Set*

$$q(t) := \prod_{j=1}^{\nu} (t - c_j), \quad q_{\ell}(t) := \frac{q(t)}{t - c_{\ell}}, \quad \ell = 1, 2, \dots, \nu,$$

*and let*

$$a_{j,i} := \int_0^{c_j} \frac{q_i(\tau)}{q_i(c_i)} d\tau, \quad j, i = 1, 2, \dots, \nu, \quad (3.13)$$

$$b_j := \int_0^1 \frac{q_j(\tau)}{q_j(c_j)} d\tau, \quad j = 1, 2, \dots, \nu. \quad (3.14)$$

*The collocation method (3.12) is identical to the IRK method*

$$\begin{array}{c|c} \mathbf{c} & A \\ \hline & \mathbf{b}^{\top} \end{array}.$$



# Collocatie versus impliciete RK formulering

---

- Elke collocatiemethode is een impliciete RK methode; niet elke impliciete RK methode is een collocatiemethode
- De collocatieformulering heeft geen voordelen voor implementatie; enkel voor analyse

**Theorem 3.7** *Suppose that*

$$\int_0^1 q(\tau) \tau^j d\tau = 0, \quad j = 0, 1, \dots, m-1, \quad (3.18)$$

*for some  $m \in \{0, 1, \dots, \nu\}$ . (The polynomial  $q(t) = \prod_{\ell=1}^{\nu} (t - c_{\ell})$  has been defined already in the proof of Lemma 3.5.) Then the collocation method (3.12) is of order  $\nu + m$ .<sup>1</sup>*

- Gebruik van nulpunten van orthogonale veeltermen geeft hogere orde!

# Oorzaak: resultaat over kwadratuur

---

- Beschouw een veelterm  $r$  van graad  $\nu$  zodat

$$\langle r, \hat{p} \rangle = 0, \quad \text{for every } \hat{p} \in \mathbb{P}_{m-1}$$

- Beschouw volgende kwadratuurregel
  - Kies als knopen  $\{c_j\}_{j=1}^{\nu}$  de nulpunten van  $r$  (dit kan altijd !)
  - Kies gewichten  $\{b_j\}_{j=1}^{\nu}$  om orde  $p = \nu$  te bekomen
- De resulterende kwadratuurregel zal orde  $p = \nu + m$  hebben.

# Foutenschatting bij RK-methodes

## Ingebedde Runge-Kuttamethodes

---

- Een eenvoudige foutenconstante bestaat niet voor Runge-Kuttamethodes. (Waarom niet?)
- Opnieuw twee methodes in tandem, maar nu met verschillende orde.

- Beschouw

$$\mathbf{y}_{n+1} = \tilde{\mathbf{y}}(t_{n+1}) + \mathbf{l}h^{p+1} + \mathcal{O}(h^{p+2})$$

$$\mathbf{x}_{n+1} = \tilde{\mathbf{y}}(t_{n+1}) + \mathcal{O}(h^{p+2})$$

- Dan schatten we  $\mathbf{l}h^{p+1} \approx \mathbf{y}_{n+1} - \mathbf{x}_{n+1}$
- ... en we krijgen  $\kappa := \|\mathbf{y}_{n+1} - \mathbf{x}_{n+1}\|$

# Implementatie van ingebedde RK-methodes

---

- Remeshing is niet nodig bij een 1-stap methode
- Rekenkost van foutenschatting beperkt houden in verhouding met de kost van een tijdstap ?
  - Naïef: (minstens) verdubbeling van rekenwerk (omwille van de stap met twee methodes)
  - Slimmer: hergebruik knopen in de tweede methode (vandaar de naam ingebed !)

(Merk op dat de rekenkost voor foutenschatting bij LMS-methodes beperkt werd door de fout voor een impliciete methode te schatten via een expliciete methode.)

# Constructie van ingebedde RK-methodes

---

- Beschouw twee RK-methodes

$$\begin{array}{c|c} \mathbf{c} & A \\ \hline & \mathbf{b}^\top \end{array} \quad \text{and} \quad \begin{array}{c|c} \tilde{\mathbf{c}} & \tilde{A} \\ \hline & \tilde{\mathbf{b}}^\top \end{array}$$

- Wanneer de RK-methodes expliciet zijn, kiezen we

$$\tilde{\mathbf{c}} = \begin{bmatrix} \mathbf{c} \\ \hat{\mathbf{c}} \end{bmatrix}, \quad \tilde{A} = \begin{bmatrix} A & O \\ \hat{A} & \end{bmatrix}$$

- Compacte notatie

$$\begin{array}{c|c} \tilde{\mathbf{c}} & \tilde{A} \\ \hline & \mathbf{b}^\top \\ \hline & \tilde{\mathbf{b}}^\top \end{array}$$

- Voorbeeld op bord.

# Voorbeeld: RK23

---

- Beschouw het volgende ingebedde paar

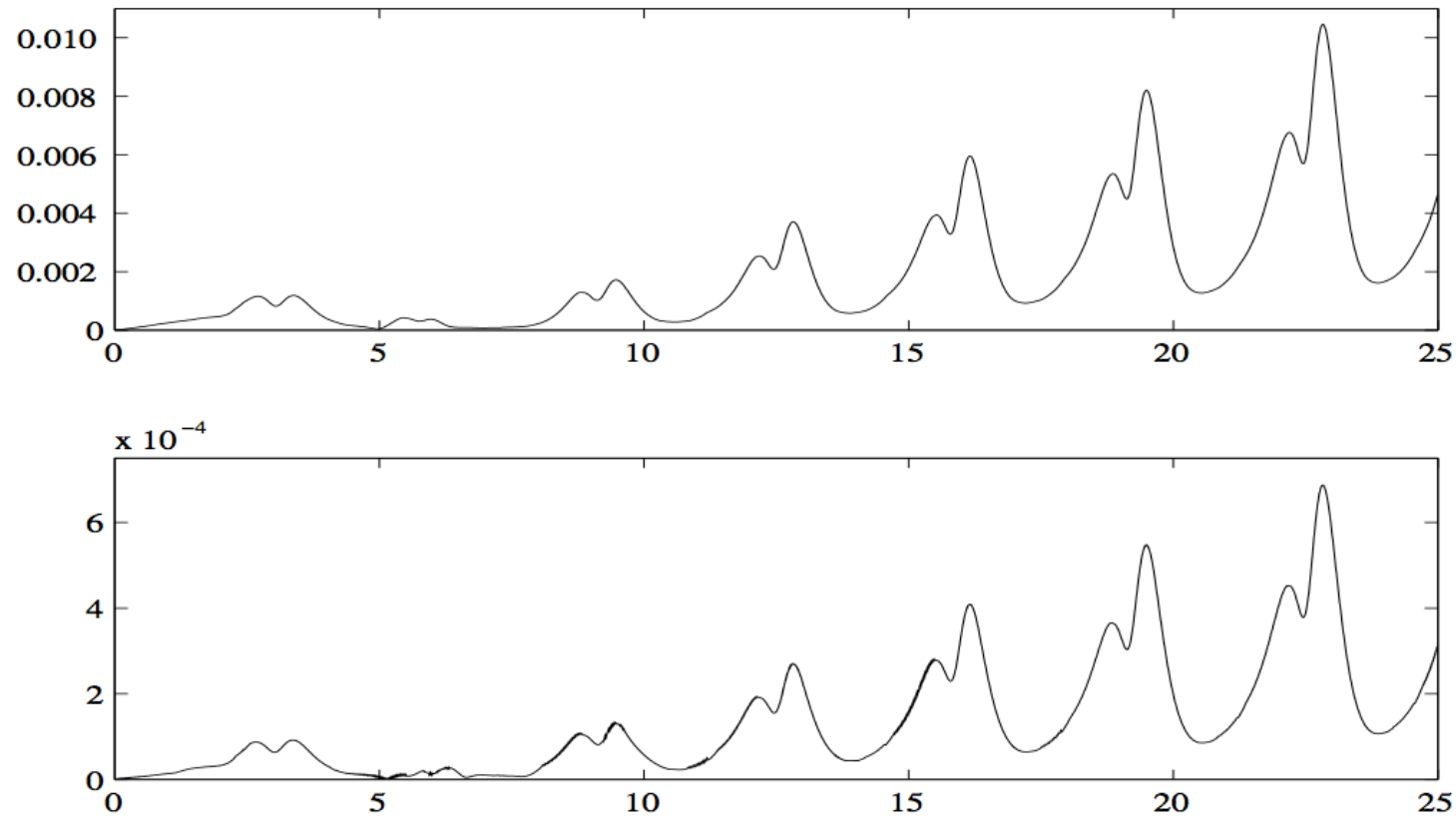
0		
$\frac{2}{3}$	$\frac{2}{3}$	
$\frac{2}{3}$	0	$\frac{2}{3}$
<hr/>		
	$\frac{1}{4}$	$\frac{3}{4}$
<hr/>		
	$\frac{1}{4}$	$\frac{3}{8}$ $\frac{3}{8}$

- Voor dit voorbeeld hebben we  $p = 2$   $\tilde{p} = 3$

$$\kappa = \frac{3}{8} \left\| \mathbf{f}\left(t_n + \frac{2}{3}h, \xi_3\right) - \mathbf{f}\left(t_n + \frac{2}{3}h, \xi_2\right) \right\|$$

# Illustratie: van der Pol vergelijking

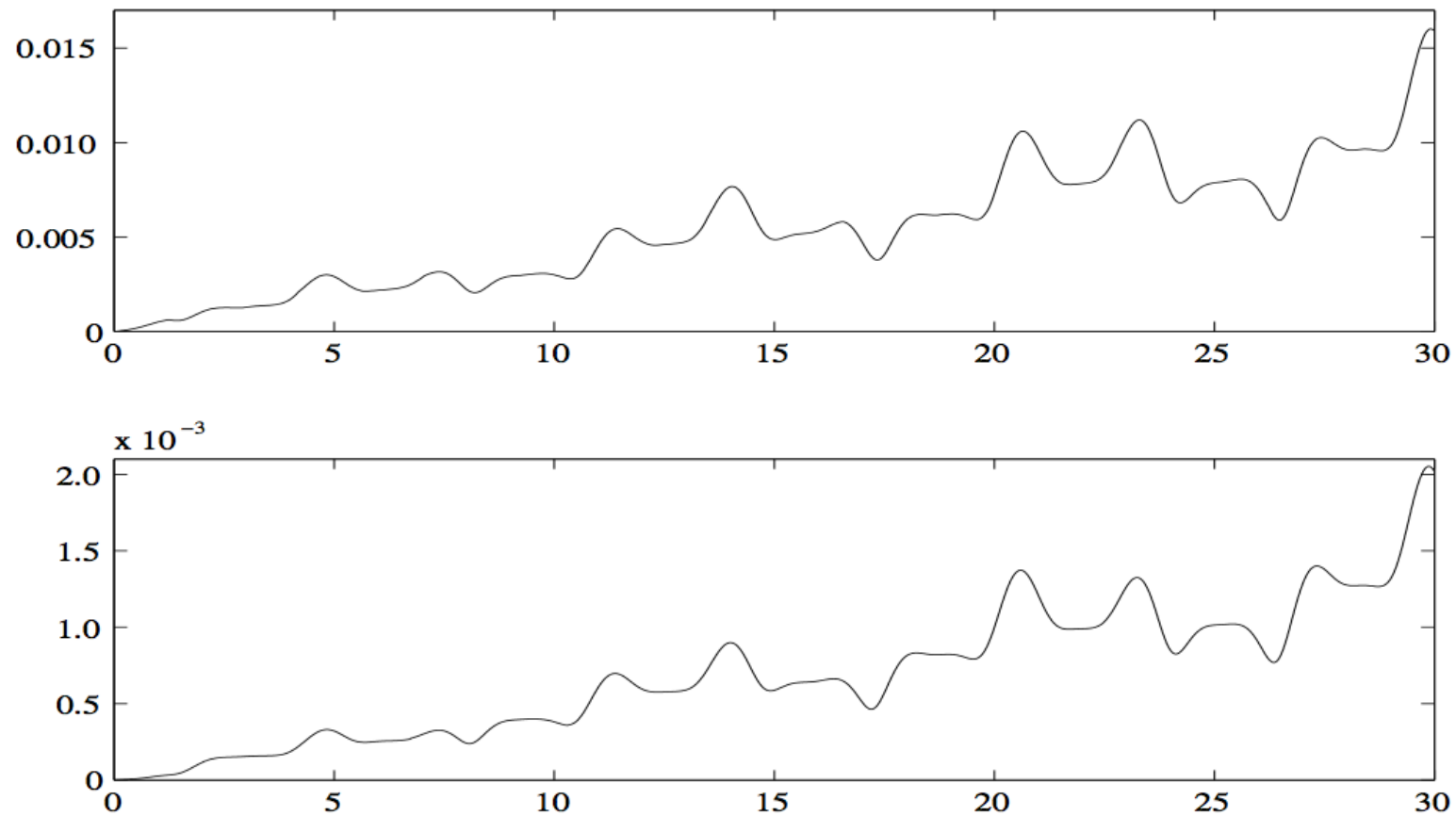
---



**Figure 6.5** Global errors for the numerical solution of the van der Pol equation (6.2) by the embedded RK pair (6.15) with  $\delta = 10^{-3}, 10^{-4}$ .

# Illustratie: Mathieuvergelijking

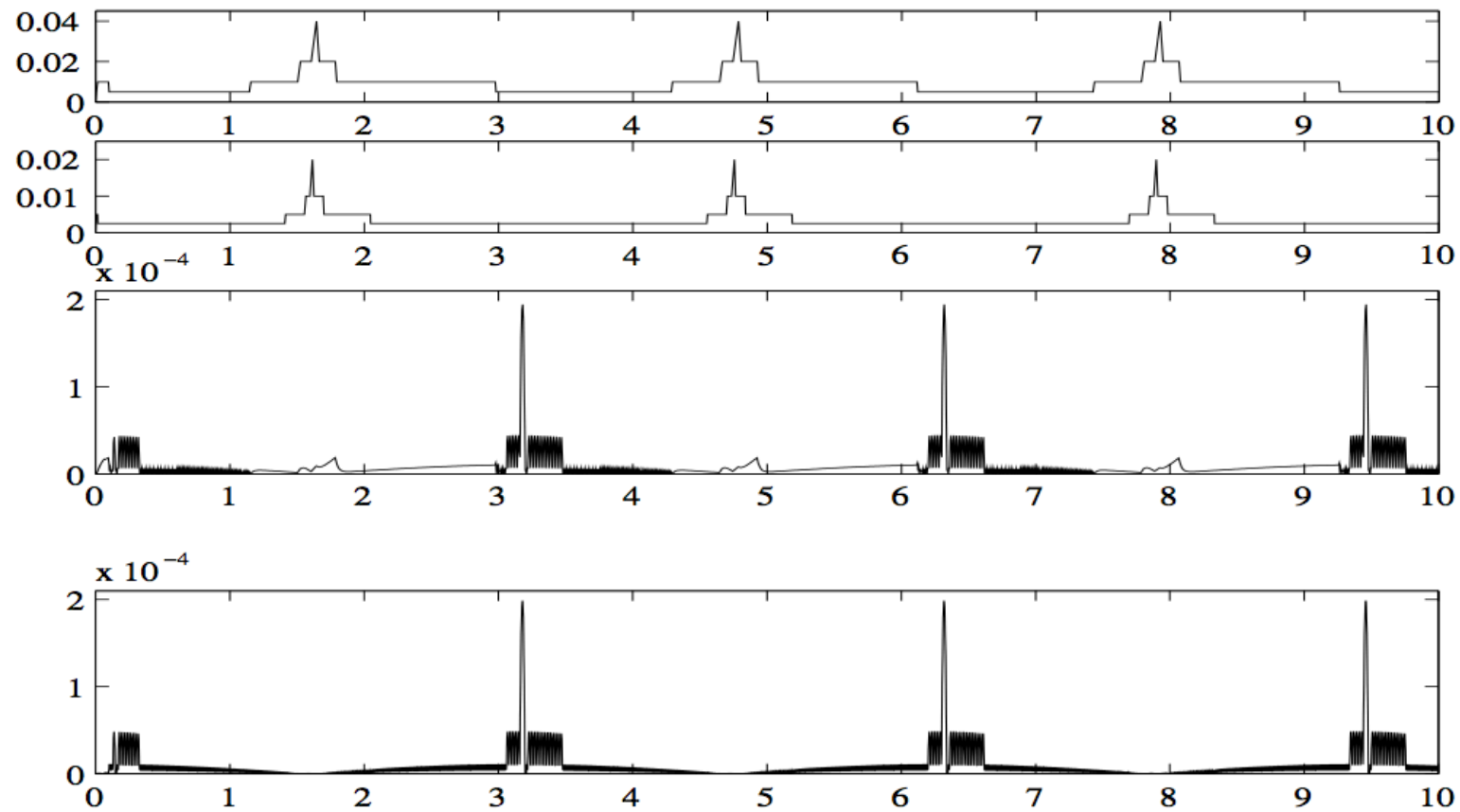
---





# Illustratie: Curtiss-Hirschfelder vergelijking

---



# Enkele bijkomende commentaren

---

- Voor LMS-methodes: orde en beginvoorwaarden ? Gear integration method
  - Variabele stap, variabele orde: start met een 1-stapmethode
  - Remeshing kan veel handiger door eindige differenties van oplossing bij te houden ipv oplossing (Nordsieck representatie)
- Zelf implementaties maken is vooral nuttig voor inzicht.
  - Er is zoveel werk gedaan aan het optimaliseren van software, dat je de beste implementaties nauwelijks kan overtreffen.
  - Matlab / Python-SciPy / SUNDIALS / ...

# Voor het examen

---

- Methodes kunnen **herkennen**.
  - Als er een formule staat, kunnen aangeven of het een lineaire multistap of Runge-Kutta methode is.
  - Impliciet, expliciet, uitspraken over orde kunnen doen.
- Gedrag van methodes kunnen **herkennen en verklaren**.
  - Als er een figuur of tabel gegeven wordt, kunnen afleiden welke methode gebruikt werd.
  - Kunnen aangeven op basis waarvan je tot die conclusie komt.
- Werking foutenschatters kunnen uitleggen.
- Lineaire multistapmethodes en Runge-Kuttamethodes kunnen vergelijken.